

13. Huet M., Cubizolles M., Buhot A. Real time observation and automated measurement of red blood cells agglutination inside a passive microfluidic biochip containing embedded reagents // Biosensors and Bioelectronics. 2017. Vol. 93. PP. 110-117.
14. Malinin A. V. et al. Determination of blood types using a chirped photonic crystal fiber // Dynamics and Fluctuations in Biomedical Photonics VIII. 2011. Vol. 7898. P. 78981A.
15. Дубровский В.А., Медведева М.Ф. Акустооптический метод определения группы крови человека: сравнение применения анти-А и анти-В моноклональных антител и стандартных гемагглютинирующих сывороток // Саратовский научно-медицинский журнал. 2017. Т. 13. № 1. С. 022-028.
16. Doubrovski V.A., Medvedeva M.F., Torbin S.O. An acousto-optical method for registration of erythrocytes' agglutination reaction – Sera color influence on the resolving power // Optics and Spectroscopy. 2016. Vol. 120. № 1. PP. 58-64.
17. Aristov A.A., Nosova E.V., Soldatov A.H. Применение метода фотометрии лежащих капель для задач клинической лабораторной диагностики // Медицинская техника. 2016. № 5. С. 19-22.
18. Aristov A.A., Nosova E.V. Method of evaluation of process of red blood cell sedimentation based on photometry of droplet samples // Journal of Medical and Biological Engineering and Computing. 2017. Vol. 55. PP. 621-630.
19. Aristov A.A., Evtushenko G.S., Ermolovich D.G. Micromethod of an estimate of erythrocyte sedimentation rate / Proc. SPIE. 2008. Vol. 7006. 10 p.

Александр Александрович Аристов,

канд. техн. наук, доцент,

Юлия Андреевна Розенбаум,

аспирант,

отделение электронной инженерии,

ФГАОУ ВО «Национальный исследовательский

Томский политехнический университет»,

г. Томск,

Геннадий Сергеевич Евтушенко,

д-р техн. наук, гл. научный сотрудник,

Государственный центр экспертизы

в сфере науки и инноваций,

ФГБНУ НИИ «Республиканский

исследовательский научно-консультативный

центр экспертизы Министерства науки

и высшего образования РФ,

г. Москва,

профессор,

отделение электронной инженерии,

ФГАОУ ВО «Национальный исследовательский

Томский политехнический университет»,

г. Томск,

e-mail: aristov@tpu.ru

В.Е. Курочкин, Д.А. Белов, Ю.В. Белов, А.Н. Зубик

Методика определения характерных параметров при плавлении ДНК в анализаторах нуклеиновых кислот

Аннотация

Современные методы полимеразной цепной реакции (ПЦР) и плавления молекулы ДНК реализуются на анализаторах нуклеиновых кислот. Предложено использовать особенности регистрации сигналов плавления анализаторами серии АНК с целью уменьшения погрешности определения основного характерного параметра анализа – температуры плавления ДНК T_m . Предложена методика определения ширины интервала плавления ΔT для использования в качестве дополнительного критерия специфичности полученного продукта ПЦР. Выполнена оценка погрешностей измерений: значения СКО величины T_m – не более 0,11 °C; величины ΔT – не более 0,06 °C.

Введение

Анализы на основе метода плавления молекул ДНК, реализующиеся на анализаторах нуклеиновых кислот после проведения ПЦР в реальном времени (ПЦР-РВ), широко используются в том числе для детектирования модифицированных нуклеотидов, оценки специфичности проведения ПЦР и дискриминации аллелей с целью выявления мутации ДНК. В Институте аналитического приборостроения РАН (ИАП РАН, г. С.-Петербург) серийно выпускаются анализаторы нуклеиновых кислот серии АНК, обеспечивающие:

- качественное и количественное определение молекул ДНК методом ПЦР-РВ в 32, 48 или 64 пробирках одновременно;
- детектирование всех основных красителей и анализ до 5 компонентов в каждой пробирке одновременно;
- реализацию анализа методом плавления ДНК.

Анализаторы серии АНК успешно применяются при проведении клинических анализов, для санитарного и экологического контроля, а также в судебно-медицинской экспертизе [1]. Анализаторы допущены к обращению на территории РФ в качестве изделий медицинской техники.

В результате анализов методом плавления молекул ДНК получаются графики плавления продуктов амплификации, представляющие собой зависимость измеренной величины флуоресцентного отклика от температуры образца.

Существуют два режима получения графиков плавления ДНК [2]:

- 1) непрерывный режим, при котором значения флуоресцентного отклика регистрируются с минимально возможным шагом при постоянном изменении температуры образцов с постоянной скоростью;
- 2) пошаговый режим, при котором значения флуоресцентного отклика регистрируются в течение каждого температурного шага после достижения заданной температуры.

Непрерывный режим обеспечивает значительную экономию времени, так как для обеспечения высокого разрешения, позволяющего различать одноклеточные замены фрагментов ДНК, и уменьшения погрешности измерения значения T_m шаг изменения температуры не должен превышать 0,1 °C. При этом увеличивается разброс температур между пробирками и наблюдается различие температуры пробирок и датчика температуры, что пагубно оказывается на качестве результатов анализа. Наиболее сильно этот недостаток выражен при ре-

лизации теплового режима элементами Пельтье [2], применяемыми в большинстве анализаторов. В нашей статье [3] приведена методика, реализованная в программе «ANK Melting», при использовании которой при шаге изменения температуры $0,5^{\circ}\text{C}$ высокое разрешение достигается путем аппроксимации графика плавления ДНК (ГП) непрерывной функцией.

Для анализаторов серии АНК при проведении анализа методом плавления рекомендован пошаговый режим детектирования. При этом на каждом температурном шаге $0,5^{\circ}\text{C}$ длительностью 30 с регистрируются 8 значений флуоресцентного отклика от каждой пробирки. В настоящей статье предложено использовать эти особенности регистрации сигналов плавления анализаторами серии АНК с целью обеспечения высокого разрешения и уменьшения погрешности определения температуры плавления ДНК при сохранении длительности анализа.

Характерным параметром графика плавления ДНК является температура плавления T_m , которая зависит от процентного содержания GC-пар нуклеотидов [4], длины фрагмента ДНК [5], [6] и концентрации ионов металлов в анализируемом растворе [7]-[9]. Температура плавления T_m соответствует точке перегиба графика плавления [10] и традиционно определяется как значение максимума ее производной по температуре.

График плавления можно охарактеризовать еще одним параметром – шириной интервала плавления ΔT , который, так же как и температура плавления T_m , зависит от состава фрагмента ДНК [10]. Максимальные значения ΔT соответствуют содержанию GC-пар нуклеотидов около 50 %, а минимальные – около 0 и 100 %.

Ширина интервала плавления ΔT определяется как расстояние по температурной шкале между пересечениями линий максимального и минимального уровней флуоресценции с касательной к точке перегиба графика плавления [11].

Для вычисления величины ширины интервала плавления ΔT известным способом необходимо выполнить нормализацию графика путем построения его в пределах от 0 до 1 по оси ординат (рис. 1).

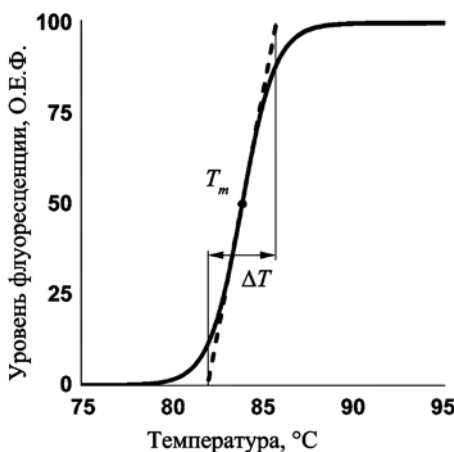


Рис. 1. Модельный график плавления (сплошная линия), график касательной (пунктирная линия) и характерные параметры графика плавления: температура плавления ДНК T_m и ширина интервала плавления ДНК ΔT

Известны способы, при которых значение ΔT определяется как разница между температурами, соответствующими 25 и 75 % от максимального уровня флуоресценции на нормированном графике, или как ширина нормированной производной по температуре на полувысоте [12]. Значение ΔT также может вычисляться на основе определения стандартного отклонения [13] или среднего абсолютного отклонения [14] от средней температуры.

Вычисление приведенными способами усложняется наклоном и сдвигом по вертикали базовой линии реального графика плавления, что объясняется в том числе температурной зависимостью фоновой флуоресценции [15].

Целью работы является повышение точности определения температуры плавления ДНК T_m и разработка упрощенной

методики определения значения ширины интервала плавления ДНК ΔT без компенсации базовой линии и нормировки графика плавления.

Материалы и методы

Исходные данные получены на анализаторе АНК-32 в результате выполнения трехкратных анализов трех образцов онкомаркера цитокератина (СК-19) при четырехкратном повторении по методике плавления в диапазоне температур $70\ldots95^{\circ}\text{C}$ с шагом $0,5^{\circ}\text{C}$ и длительностью выдержки каждого значения температуры 30 с. Образцы имеют различное содержание GC-пар нуклеотидов, равное 55,7, 58,8 и 58,2 %, при длине фрагментов L_p , равной 131, 209 и 309 пар нуклеотидов (п.н.). Для получения образцов проводили ПЦР с исходной концентрацией ДНК-мишени 10^6 копий/мкл. В реакционную смесь «ПЦР-Микс» с красителем «SYBR Green I» (ООО «СИНТОЛ», г. Москва) добавляли специально разработанные праймеры (ООО «ДНК-Синтез», г. Москва). Амплификацию проводили в стандартных пробирках (0,2 мл) при следующем тепловом режиме: прогрев 5 мин при 95°C , затем 50 циклов ПЦР с температурой 60°C в течение 50 с и 95°C в течение 20 с.

При обработке в программе *ANK Melting* для определения значения T_m используются исходные данные, содержащие средние значения 8 измерений за 30 с при каждом шаге изменения температуры (1 точка на графике плавления при каждом шаге).

Для обработки данных предложена новая методика плавления высокого разрешения *Melting NA*. В этой методике используются исходные данные, которые содержат результаты 8 измерений интенсивности флуоресценции за 30 с на каждом шаге изменения температуры, равном $0,5^{\circ}\text{C}$ (8 точек на каждом шаге). Методика *Melting NA* может быть реализована в программе MATLAB или в среде Excel, при этом последовательно выполняются операции интерполяции, фильтрации и двойного дифференцирования ГП.

При интерполяции принимается новый шаг температурной шкалы: $0,5 / 8 = 0,0625^{\circ}\text{C}$. При начальной температуре T_0 всем точкам температурной шкалы будут присваиваться значения по формуле (1):

$$T_j = T_0 + 0,0625(j - 1), \quad (1)$$

где начальная температура в качестве примера $T_0 = 70^{\circ}\text{C}$; значение j – порядковый номер точки.

Фильтрацию предложено выполнять по формуле (2):

$$s_j = \frac{1}{9} \cdot \sum_{i=j-4}^{i=j+4} s_i. \quad (2)$$

Величина температуры T_m соответствует наибольшему абсолютному значению первой производной ГП по температуре.

Дифференцирование предложено выполнять по формуле (3). При этом не наблюдается сдвиг графиков производных ГП по отношению к исходному ГП, а также увеличиваются частота дискретизации и отношение сигнала к шуму:

$$V_j = s_{j+8} - s_{j-8}, \quad (3)$$

где V_j – результат дифференцирования для j -й точки нового графика; s_{j+8} и s_{j-8} – данные для точек с порядковыми номерами ($j+8$) и ($j-8$) исходного ГП соответственно.

Величину ΔT по методике *Melting NA* предлагается определять как интервал температур между точками графика, соответствующими минимальному и максимальному значениям второй производной ГП по температуре. Эту величину можно условно обозначить ΔT_w , поскольку она соответствует той части графика плавления ДНК, на которой наблюдается наиболее активный ее рост.

Для определения значений W второй производной ГП по температуре дифференцирование предложено выполнять по аналогии с формулой (3):

$$W_j = V_{j+8} - V_{j-8}. \quad (4)$$

Результаты

Выполнено сравнение результатов применения программы «ANK Melting» (табл. 1) и методики *Melting NA* (табл. 2). В таблицах приведены значения T_m трех образцов – каждый в четырех пробирках. Вычислены средние значения температур T_m и их среднеквадратичные отклонения (СКО) – $T_{m\text{cp}}$ и RMS соответственно.

Таблица 1

Результаты вычислений значений T_m в программе «ANK Melting»

| L_p , п. н. | T_{m1} , °C | T_{m2} , °C | T_{m3} , °C | T_{m4} , °C | $T_{m\text{cp}}$, °C | RMS |
|---------------|---------------|---------------|---------------|---------------|-----------------------|-------|
| 131 | 87,28 | 87,49 | 87,12 | 87,41 | 87,32 | 0,16 |
| 209 | 90,15 | 90,23 | 90,24 | 90,27 | 90,22 | 0,05 |
| 309 | 90,67 | 90,49 | 90,80 | 90,74 | 90,68 | 0,13 |

Таблица 2

Результаты вычислений значений T_m с применением методики *Melting NA*

| L_p , п. н. | T_{m1} , °C | T_{m2} , °C | T_{m3} , °C | T_{m4} , °C | $T_{m\text{cp}}$, °C | RMS |
|---------------|---------------|---------------|---------------|---------------|-----------------------|-------|
| 131 | 87,69 | 87,69 | 87,69 | 87,63 | 87,68 | 0,03 |
| 209 | 90,5 | 90,5 | 90,38 | 90,5 | 90,47 | 0,06 |
| 309 | 90,81 | 90,69 | 90,94 | 90,88 | 90,83 | 0,11 |

Максимальное значение СКО с применением программы «ANK Melting» составляет 0,16 °C, с применением методики *Melting NA* – 0,11 °C.

В табл. 3 приведены значения ΔT_a 3-х образцов, каждый образец в 4-х пробирках, полученные с применением методики *Melting NA*. Вычислены средние значения $\Delta T_{a\text{cp}}$ и СКО RMS . В программе «ANK Melting» значения ΔT не определяются.

Таблица 3

Результаты вычислений значений ΔT_a с применением методики *Melting NA*

| L_p , п. н. | ΔT_{a1} , °C | ΔT_{a2} , °C | ΔT_{a3} , °C | ΔT_{a4} , °C | $\Delta T_{a\text{cp}}$, °C | RMS , °C |
|---------------|----------------------|----------------------|----------------------|----------------------|------------------------------|------------|
| 131 | 1,56 | 1,56 | 1,56 | 1,62 | 1,58 | 0,03 |
| 209 | 1,50 | 1,50 | 1,63 | 1,50 | 1,53 | 0,06 |
| 309 | 1,57 | 1,62 | 1,62 | 1,56 | 1,59 | 0,03 |

По сравнению с известным способом для вычисления значения ΔT не требуется определять минимальное и максимальное значения ГП для нормализации графика, что позволяет уменьшить пределы изменения температуры, исключить ручные операции и сократить длительность анализа.

Значения ΔT_a могут служить критерием специфичности полученного продукта реакции самостоятельно или после преобразования их в значения ΔT путем введения поправочного коэффициента.

Заключение

Разработана методика плавления высокого разрешения *Melting NA*, предназначенная для определения температуры плавления ДНК T_m и ширины интервала плавления ΔT . По этой методике на анализаторе нуклеиновых кислот АНК-32 проведен анализ методом плавления трех известных образцов ДНК (каждый образец – в 4-х пробирках). Оценка погрешностей измерений позволяет сделать следующий вывод: анализатор нуклеиновых кислот АНК-32 совместно с методикой *Melting NA* обеспечивает погрешности измерений порядка 0,1 °C, что соответствует требованиям методики плавления ДНК высокого разрешения.

В дальнейшем планируется продолжить совершенствование методики плавления ДНК *Melting NA*, в частности с целью детектирования модифицированных нуклеотидов и выявления мутаций ДНК, а также полной автоматизации обработки данных.

Однако уже сейчас методика имеет практическую ценность при использовании образцов ДНК для положительного контроля, оценки специфичности проведения ПЦР и подтверждения чистоты продукта после амплификации исследуемых образцов.

Работа выполнена в ИАП РАН в рамках государственного задания № 075-01073-20-00 Министерства науки и высшего образования РФ.

Список литературы:

1. Nikolenko D.A., Munister V.D., Zolkin A.L., Khvatov I.L., Karapetyan A.A. Analysis of modern computer diagnostic and measurement methods in medicine // J. Phys.: Conf. Ser. 2021. Vol. 1889. № 5. P. 052005.
2. Herrmann M.G., Durtchi J.D., Wittwer C.T., Voelkerding K.V. Expanded Instrument Comparison of Amplicon DNA Melting Analysis for Mutation Scanning and Genotyping // Clin. Chem. 2007. Vol. 53. № 8. PP. 1-3.
3. Белов Д.А., Белов Ю.В., Широкорад А.Л. Разработка экспериментальной версии программного обеспечения на основе новой методики определения температуры плавления ДНК // Научное приборостроение. 2018. Т. 28. № 2. С. 11-19.
4. Marmur J., Doty P. Determination of the base composition of deoxyribonucleic acid from its thermal denaturation temperature // J. Mol. Biol. 1962. Vol. 5. № 1. PP. 109-118.
5. Porschke D. Cooperative non-enzymic base recognition II. Thermodynamics of the helix-coil transition of oligoadenylic + oligouridylic acids // Biopolymers. 1971. Vol. 10. PP. 1989-2013.
6. Blake R.D. Cooperative lengths of DNA during melting // Biopolymers. 1987. Vol. 26. PP. 1063-1074.
7. Breslauer K.J., Frank R., Blocker H., Marky L.A. Predicting DNA duplex stability from the base sequence // Proc. Natl. Acad. Sci. USA. 1986. Vol. 83. PP. 3746-3750.
8. Owczarzy R., You Y., Moreira B.G., Manthey J.A., Huang L. et al. Effects of sodium ions on DNA duplex oligomers: Improved predictions of melting temperatures // Biochemistry. 2004. Vol. 43. PP. 3537-3554.
9. Календарь Р.Н., Сиволап Ю.М. Полимеразная цепная реакция с произвольными праймерами // Биополимеры и клетка. 1995. Т. 11. № 3-4. С. 55-65.
10. Веденов А.А., Дыхне А.М., Франк-Каменецкий М.Д. Переход спираль-клубок в ДНК // Успехи физических наук. 1971. Т. 105. № 11. С. 479-519.
11. Lazurkin Y.S., Frank-Kamenetskii M.D., Trifonov E.N. Perspectives report: Melting of DNA: Its study and application as a research method // Biopolymers. 1970. № 9. PP. 1253-1306.
12. Marky L.A., Breslauer K.J. Calculating thermodynamic data for transitions of any molecularity from equilibrium melting curves // Biopolymers. 1987. № 2. PP. 1601-1620.
13. Rupprecht A., Piskur J., Schultz J., Nordenskiold L., Song Z., Lahajnar G. Mechanochemical study of conformational transitions and melting of Li-, Na-, K-, and CsDNA fibers in ethanol-water solutions // Biopolymers. 1994. № 34. PP. 897-920.
14. Lando D.Y., Fridman A.S., Chang C.-L., Grigoryan I.E., Galyuk E.N., Murashko O.N., Chen C.-C., Hu C.-K. Determination of melting temperature and temperature melting range for DNA with multi-peak differential melting curves // Anal. Biochem. 2015. № 479. PP. 28-36.
15. Сочивко Д.Г., Варламов Д.А., Федоров А.А., Курочкин В.Е. Метод бесконтактного измерения температуры в реакторах полимеразной цепной реакции // Письма в ЖТФ. 2016. Т. 42. Вып. 7. С. 53-58.

Владимир Ефимович Курочкин,

д-р техн. наук, профессор, директор,

Дмитрий Анатольевич Белов,

мл. научный сотрудник,

Юрий Васильевич Белов,

канд. физ.-мат. наук, ведущ. научный сотрудник,

Александра Николаевна Зубик,

канд. техн. наук, научный сотрудник,

Институт аналитического приборостроения РАН,

г. С.-Петербург, e-mail: belov.da@list.ru